

ВЛИЯНИЕ МЕХАНИЧЕСКИХ ГРАНИЧНЫХ УСЛОВИЙ НА ДИНАМИЧЕСКИЕ И СТАТИЧЕСКИЕ СВОЙСТВА СИЛЬНОАНИЗОТРОПНОГО ФЕРРОМАГНЕТИКА

*Г. А. Гореликов, Ю. А. Фридман**

*Таврический национальный университет им. В. И. Вернадского
95007, Симферополь, Украина*

Поступила в редакцию 9 февраля 2013 г.

Исследованы спектры связанных магнитоупругих волн в полубесконечном сильноанизотропном легко-плоскостном ферромагнетике с жестко закрепленной гранью в двух случаях крепления — по базисной плоскости и перпендикулярно базисной плоскости. Определены фазовые состояния системы. Рассмотрены различия в фазовых диаграммах и спектрах элементарных возбуждений в зависимости от выбора плоскости крепления образца. Учет вращательной инвариантности приводит к эффекту невзаимности для скоростей звука в кристалле. Показано, что скорость звука в образце существенно зависит от симметрии накладываемых механических граничных условий. Построены фазовые диаграммы исследуемой системы.

DOI: 10.7868/S0044451013070158

1. ВВЕДЕНИЕ

Динамические проявления магнитоупругой (МУ) связи имеют принципиальное значение в теории магнетизма. Спин-решеточное взаимодействие определяет связь механических (упругих, акустических, стрикционных) и магнитных характеристик системы [1], а также значительно влияет на критическое поведение при магнитных фазовых переходах [2, 3]. В частности, МУ-связь способна полностью подавить аномальные критические флуктуации в точке фазового перехода второго рода и заблокировать появление доменной структуры в фазе с более низкой симметрией. Кроме того, наряду с диполь-дипольным взаимодействием [4] МУ-взаимодействие является стабилизирующим фактором дальнего магнитного порядка в двумерных магнетиках [5–7], хотя механизмы стабилизации дальнего магнитного порядка этими взаимодействиями различны. Более подробно различные качественные аспекты влияния спин-решеточной связи на характер критического поведения системы, а также на другие физичес-

кие свойства магнитоупорядоченных кристаллов описаны в работах [2, 8].

При этом важно учитывать механические граничные условия, накладываемые на систему. Во-первых, экспериментальные исследования магнитных свойств связаны с определенным способом крепления образца в установке. Накладываемые механические условия определяют структуру спонтанных деформаций магнитоупорядоченного кристалла. Величина и структура спонтанных деформаций, в свою очередь, влияют как на термодинамические, так и на динамические характеристики системы, а следовательно, и на результаты эксперимента.

Во-вторых, при создании магнитных пленок необходимо учитывать влияние немагнитной подложки на образец. Учет механических граничных условий, в принципе, может являться достаточно адекватной моделью магнитной пленки на немагнитной подложке. На важность этого вопроса обращали внимание ряд авторов [8–10], однако к настоящему времени этот вопрос изучен явно недостаточно.

Теоретические исследования динамических проявлений МУ-связи обычно ведутся в рамках двух взаимно дополняющих друг друга подходов. Первый подход основан на общей гидродинамической

*E-mail: frid@crimea.edu

теории, игнорирующей динамическую природу внутренних степеней свободы кристалла; при этом эффекты временной и пространственной дисперсии акустических свойств либо вовсе остаются за рамками рассмотрения, либо учитываются лишь на симметрийном, гидродинамическом уровне. Такой подход является строгим (точнее, безмодельным), однако область его применимости ограничена низкими частотами и большими длинами волн. Кроме того, чисто гидродинамический подход позволяет в общем случае исследовать лишь акустические свойства, но не спиновую динамику [11].

Второй подход также принято называть феноменологическим, однако он уже существенно использует конкретные динамические уравнения для описания спиновой системы, обычно это уравнения Ландау–Лифшица, либо некоторая их модификация (см., например, работу [2]). Последнее обстоятельство существенно расширяет область применимости теории в смысле частот и длин волн, а также позволяет исследовать динамику спиновой системы. Тем не менее использование квазиклассических методов при описании спиновой динамики допустимо отнюдь не для всех систем. В частности, такой подход не применим к системам с сильной одноионной анизотропией. Дело в том, что большая одноионная анизотропия (сравнимая или даже пре-восходящая обменное взаимодействие) может приводить к реализации таких эффектов, как квантовое сокращение спина [12]. Этот эффект при достаточно большой константе одноионной анизотропии может полностью обратить в нуль средний магнитный момент ($\langle S \rangle = 0$ на один узел) и привести к реализации магнитного упорядочения в системе не векторного, а тензорного типа — так называемое квадрупольное упорядочение [12–14]. С другой стороны, именно в таких системах следует ожидать особенно сильные МУ-эффекты [15], поскольку причиной МУ-взаимодействия и одноионной анизотропии является сильное спин-орбитальное взаимодействие, и, следовательно, в системах с большой одноионной анизотропией достаточно велика и МУ-связь.

В данной работе проводится анализ МУ-связи в магнетиках с большой одноионной анизотропией. Использование диаграммной техники для операторов Хаббарда [16–19] позволяет точно учсть влияние МУ-взаимодействия и одноионной анизотропии путем включения их в одноузельный гамильтониан. При этом последовательно учитываются квантовые одноионные эффекты и так называемые эффекты нарушенной вращательной инвариантности МУ-энергии системы, находящейся в магнитном по-

ле. Также особый интерес в рамках рассматриваемой задачи вызывает влияние симметрии накладываемых граничных условий на поведение исследуемой системы. Для учета этого влияния нами используется вращательно-инвариантная теория МУ-сред. Как известно, энергия деформированного немагнитного кристалла определяется симметричной частью тензора дисторсии. Магнитная анизотропия приводит к появлению в энергии магнетика слагаемых, зависящих от антисимметричной части тензора дисторсии, которая характеризует бесконечно малые повороты элемента объема тела. При этих поворотах энергия магнитной анизотропии относится к повернутой вместе с элементом тела оси симметрии. При переходе к лабораторной системе координат в выражении для МУ-энергии кристалла наряду с обычными магнитострикционными слагаемыми возникают слагаемые, обусловленные магнитной кристаллографической анизотропией. Возникновение таких слагаемых приводит к различным интересным эффектам, например, к эффекту невзаимности для скорости звука.

2. КРЕПЛЕНИЕ ОБРАЗЦА ПО БАЗИСНОЙ ПЛОСКОСТИ

2.1. Модель. Энергетические уровни и собственные функции

В качестве модельной системы рассматривается полубесконечный легкоплоскостной ферромагнетик (xy — базисная плоскость), помещенный в однородное магнитное поле H , параллельное оси z . Образец жестко закреплен по базисной плоскости. Рассмотрение проводится в области низких температур, в которой исследуемые эффекты проявляются наиболее сильно. Без потери общности будем считать, что спин магнитного иона равен $S = 1$, поскольку это минимальное значение спина, при котором возможна реализация одноионной анизотропии. Гамильтониан такой системы в рамках вращательно-инвариантной теории МУ-взаимодействия [20] имеет вид

$$\begin{aligned} \mathcal{H} = & -H \sum_n S_n^z - \frac{1}{2} \sum_{n,n'} J(n-n') \mathbf{S}_n \cdot \mathbf{S}_{n'} + \\ & + \frac{\beta}{2} \sum_n (R_{zi}^{-1} S_n^i)^2 + \nu \sum_n (R_{if}^{-1} S_n^f)(R_{jg}^{-1} S_n^g) \varepsilon_{ij}(n) + \end{aligned}$$

$$+ \int d\mathbf{r} \left[\frac{\lambda + \eta}{2} (\varepsilon_{xx}^2 + \varepsilon_{yy}^2 + \varepsilon_{zz}^2) + \eta (\varepsilon_{xy}^2 + \varepsilon_{xz}^2 + \varepsilon_{yz}^2) + \lambda (\varepsilon_{xx}\varepsilon_{yy} + \varepsilon_{xx}\varepsilon_{zz} + \varepsilon_{yy}\varepsilon_{zz}) \right], \quad (1)$$

где $J(n-n')$ — константа билинейного обменного взаимодействия, n — номер узла в кристалле, S_n^i — i -я компонента спинового оператора в узле n , $\beta > 0$ — константа легкоплоскостной одноионной анизотропии, ν — константа МУ-связи, λ и η — упругие модули, \hat{R} — оператор локальных поворотов,

$$R_{ij}^{-1} = \delta_{ij} - \omega_{ij} + \frac{\omega_{ij}^2}{2} + \frac{1}{2}(u_{ik}\omega_{kj} + \omega_{ik}u_{kj}),$$

ε_{ij} — тензор конечных деформаций,

$$\varepsilon_{ij} = u_{ij} + \frac{1}{2}(u_{ik} - \omega_{ik})(u_{kj} + \omega_{kj}),$$

u_{ij} и ω_{ij} — соответственно симметричная и антисимметричные части тензора дисторсии,

$$u_{ij} = \frac{1}{2} \left(\frac{\partial u_i}{\partial x_j} + \frac{\partial u_j}{\partial x_i} \right), \quad \omega_{ij} = \frac{1}{2} \left(\frac{\partial u_i}{\partial x_j} - \frac{\partial u_j}{\partial x_i} \right).$$

Нами выбраны граничные условия, при которых образец жестко закреплен в базисной плоскости xy . Отметим, что при этом в системе существует аксиальная симметрия (ось симметрии — ось z), что, как мы увидим далее, существенно оказывается на поведении системы. Исследование данной системы будем проводить при низких температурах ($T \ll T_C$, T_C — температура Кюри).

Выделяя в гамильтониане (1) среднее поле, получим

$$\begin{aligned} \mathcal{H} = & -\overline{H} \sum_n S_n^z + \frac{J_0}{2} \langle S^z \rangle^2 + \frac{\beta}{2} \sum_n (S_n^z)^2 + \\ & + \sum_n \tilde{\mathcal{H}}_0(n) - \frac{1}{2} \sum_{n,n'} J(n-n') \times \\ & \times \left\{ (S_n^z - \langle S^z \rangle)(S_{n'}^z - \langle S^z \rangle) + \frac{1}{2} (S_n^+ S_{n'}^- + S_n^- S_{n'}^+) \right\} + \\ & + \int d\mathbf{r} \left[\frac{\lambda + \eta}{2} (\varepsilon_{xx}^2 + \varepsilon_{yy}^2 + \varepsilon_{zz}^2) + \eta (\varepsilon_{xy}^2 + \varepsilon_{xz}^2 + \varepsilon_{yz}^2) + \right. \\ & \left. + \lambda (\varepsilon_{xx}\varepsilon_{yy} + \varepsilon_{xx}\varepsilon_{zz} + \varepsilon_{yy}\varepsilon_{zz}) \right], \end{aligned}$$

где

$$\begin{aligned} \tilde{\mathcal{H}}_0(n) = & \frac{\beta}{2} (R_{zi}^{-1} S_n^i)^2 - \frac{\beta}{2} (S_n^z)^2 + \\ & + \nu (R_{if}^{-1} S_n^f) (R_{jg}^{-1} S_n^g) \varepsilon_{ij}(n), \quad \overline{H} = H + J_0 \langle S^z \rangle. \end{aligned}$$

Полученный в результате одноузельный гамильтониан $\mathcal{H}_0(n)$ имеет вид

$$\mathcal{H}_0(n) = \mathcal{L}_0(n) + \tilde{\mathcal{H}}_0(n), \quad (2)$$

где

$$\mathcal{L}_0(n) = -\overline{H} S_n^z + \frac{\beta}{2} (S_n^z)^2.$$

Собственные функции и собственные значения одноузельного гамильтониана (2) будем искать методом последовательных приближений. Решая одноузельную задачу с оператором $\mathcal{L}_0(n)$, для собственных значений и собственных функций оператора $\mathcal{L}_0(n)$ получаем

$$\begin{aligned} E_1^{(0)} &= \frac{\beta}{2} - \overline{H}, \quad E_0^{(0)} = 0, \quad E_{-1}^{(0)} = \frac{\beta}{2} + \overline{H}, \\ \psi(1) &= |1\rangle, \quad \psi(0) = |0\rangle, \quad \psi(-1) = |-1\rangle, \end{aligned} \quad (3)$$

где $|M\rangle$ — собственные функции спинового оператора S_n^z . Построим на базисе полученных собственных функций операторы Хаббарда

$$X_n^{M'M} \equiv |\Psi_n(M')\rangle\langle\Psi_n(M)|,$$

которые описывают переход системы из состояния $\Psi_n(M)$ в состояние $\Psi_n(M')$ [16–19].

Представим гамильтониан \mathcal{H}_0 в терминах операторов Хаббарда:

$$\begin{aligned} \mathcal{H}_0 = & \sum_n \mathcal{H}_0(n) = \\ & = \sum_n \left\{ \sum_M P_M H_n^M + \sum_\alpha P_\alpha X_n^\alpha \right\}, \end{aligned} \quad (4)$$

где $H_n^M = X_n^{MM}$. Собственные значения гамильтониана (4), т. е. энергетические уровни магнитного иона, можно представить в виде

$$E_k = E_k^{(0)} + \zeta_1 + \zeta_2 + \zeta_3, \quad (5)$$

где $k = 1, 0, -1$, а ζ — поправки к значениям энергии, которые, ввиду их громоздкости, мы не приводим. Полученные поправки к энергетическим уровням магнитной части одноузельного гамильтониана представляют собой величины порядка ν^n ($n = 1, 2, 3$), а следовательно, малы по сравнению с величинами внешнего магнитного поля и анизотропии. Поэтому самый низкий энергетический уровень определяется именно этими двумя параметрами. В случае, если $H \gg \beta$, самым низким уровнем оказывается E_1 . В случае низких температур ($T \rightarrow 0$) плотность свободной энергии $F \approx E_1$. Поскольку в рассматриваемом случае образец жестко закреплен по базисной плоскости (рис. 1), для статической части компонент тензора дисторсии и тензора конечных деформаций получим

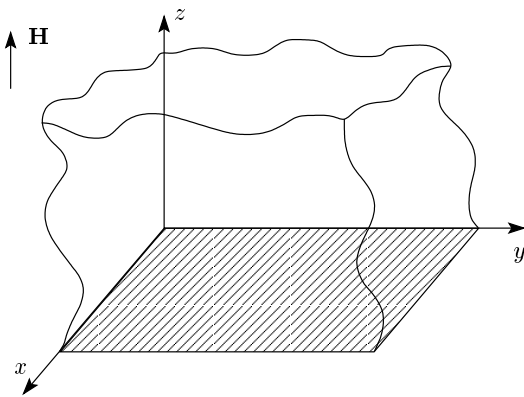


Рис. 1. Легкоплоскостный ферромагнетик, жестко закрепленный по базисной плоскости

$$\begin{aligned}\varepsilon_{xz}^{(0)} &= u_{xz}^{(0)} = \omega_{xz}^{(0)}, \\ \varepsilon_{zz}^{(0)} &= u_{zz}^{(0)} + \frac{1}{2} \left(u_{zz}^{(0)} \right)^2 + 2 \left(u_{xz}^{(0)} \right)^2.\end{aligned}\quad (6)$$

При этом статическая часть остальных элементов тензора дисторсии и тензора конечных деформаций равна нулю. Это позволяет упростить выражения для поправок к энергетическим уровням.

Используя связь спиновых операторов и операторов Хаббарда в случае больших магнитных полей ($H > \beta$), получим

$$\begin{aligned}\langle S^z \rangle &= 1, \quad q_2^0 = 3\langle (S^z)^2 \rangle - S(S+1) = 1, \\ q_2^2 &= \langle (S^x)^2 \rangle - \langle (S^y)^2 \rangle = 0.\end{aligned}\quad (7)$$

Очевидно, что это спиновое состояние является ферромагнитно-упорядоченным (ФМ-фаза).

Минимизируя плотность свободной энергии в ФМ-состоянии по компонентам тензора дисторсии, получим

$$u_{zz}^{(0)} = -\frac{\nu}{\eta}, \quad u_{xz}^{(0)} = 0. \quad (8)$$

В случае, если $H < \beta$, в системе происходит инверсия энергетических уровней и самым низким уровнем становится E_0 . Плотность свободной энергии в этом интервале полей $F \approx E_0$, а параметры порядка имеют вид

$$\langle S^z \rangle = 0, \quad q_2^0 = -2, \quad q_2^2 = 0. \quad (9)$$

Параметры порядка (9) соответствуют реализации в системе квадрупольной (КУ) фазы [11–13], геометрическим образом которой в спиновом пространстве является бесконечно тонкий диск, ориентированный в плоскости xy («плоский» нематик). Спонтанные деформации в этой фазе таковы:

$$u_{zz}^{(0)} = u_{xz}^{(0)} = 0. \quad (10)$$

Как видим, $u_{xz}^{(0)} = 0$ в обеих фазах. Это приводит к тому, что собственные функции гамильтониана \mathcal{H}_0 совпадают с собственными функциями оператора \mathcal{L}_0 и определяются выражениями (3). Следовательно, связь спиновых операторов с операторами Хаббарда не меняется. Для энергетических уровней получаем в итоге следующие выражения:

$$\begin{aligned}E_1 &= \frac{\beta}{2} - \overline{H} + \frac{\nu}{2} \left(u_{zz}^{(0)} \right)^2 + \nu u_{zz}^{(0)}, \quad E_0 = 0, \\ E_1 &= \frac{\beta}{2} + \overline{H} + \frac{\nu}{2} \left(u_{zz}^{(0)} \right)^2 + \nu u_{zz}^{(0)},\end{aligned}\quad (11)$$

где $u_{zz}^{(0)} = -\nu/\eta$ в ФМ-фазе, $u_{zz}^{(0)} = 0$ в КУ-фазе.

Представим компоненты тензора конечных деформаций в виде $\varepsilon_{ij} = \varepsilon_{ij}^{(0)} + \varepsilon_{ij}^{(1)}$, где $\varepsilon_{ij}^{(0)}$ — статическая часть тензора конечных деформаций (определенная ранее), а $\varepsilon_{ij}^{(1)}$ — динамическая часть, определяющая колебания узлов кристаллической решетки.

Как уже отмечалось ранее, компоненты ε_{ij} связаны с симметричной u_{ij} и антисимметричной ω_{ij} частями тензора дисторсии. Проквантуем u_{ij} и ω_{ij} стандартным образом [21]:

$$\begin{aligned}u_{ij}^{(1)} &= \frac{i}{2} \sum_{q,\sigma} \frac{e^{i\mathbf{q}\cdot\mathbf{n}}}{\sqrt{2m\omega_\sigma(q)}} \times \\ &\quad \times (e_\sigma^i(q)q_j + e_\sigma^j(q)q_i) (b_{q,\sigma} + b_{-q,\sigma}^\dagger), \\ \omega_{ij}^{(1)} &= \frac{i}{2} \sum_{q,\sigma} \frac{e^{i\mathbf{q}\cdot\mathbf{n}}}{\sqrt{2m\omega_\sigma(q)}} \times \\ &\quad \times (e_\sigma^i(q)q_j - e_\sigma^j(q)q_i) (b_{q,\sigma} + b_{-q,\sigma}^\dagger),\end{aligned}$$

и, выделяя в одноузельном гамильтониане (4) слагаемые, связанные с динамической частью тензора конечных деформаций, получим гамильтониан трансформаций фононов в магноны и обратно:

$$\begin{aligned}\mathcal{H}_{tr} &= \frac{1}{\sqrt{N}} \sum_{\substack{q,\sigma \\ n,\alpha}} (b_{q,\sigma} + b_{-q,\sigma}^\dagger) T_n^\alpha(q, \sigma) X_n^\alpha + \\ &\quad + \frac{1}{\sqrt{N}} \sum_{\substack{q,\sigma \\ n,\alpha}} (b_{q,\sigma} + b_{-q,\sigma}^\dagger) T_n^{MM}(q, \sigma) H_n^M.\end{aligned}\quad (12)$$

Здесь введены следующие обозначения: q_i — проекция квазимпульса на ось i , $e_\sigma^i(q)$ — проекция единичного вектора поляризации на ось i , N — число узлов в кристалле, m — масса атома, $\omega_\sigma(q) = v_\sigma q$ — закон дисперсии фонона, v_σ — скорость σ -поляризованного звука, $b_{-q,\sigma}^\dagger$ и $b_{q,\sigma}$ — операторы рождения и

уничтожения фононов, $\sigma = t, \tau, l$ — поляризации фона, $T_n(q, \sigma)$ — амплитуды трансформаций. Амплитуды трансформаций, представляющие интерес для дальнейших вычислений, имеют вид

$$T_n^{01}(q, \sigma) = \frac{i}{2\sqrt{2}} T_n^0(q, \sigma) \times \\ \times \left[\left(\nu - \frac{\beta}{2} \right) e_{\sigma q}^z q^+ + \left(\nu \left(1 + u_{zz}^{(0)} \right) + \frac{\beta}{2} \right) e_{\sigma q}^+ q_z \right],$$

$$T_n^{0-1}(q, \sigma) = -\frac{i}{2\sqrt{2}} T_n^0(q, \sigma) \times \\ \times \left[\left(\nu - \frac{\beta}{2} \right) e_{\sigma q}^z q^- + \left(\nu \left(1 + u_{zz}^{(0)} \right) + \frac{\beta}{2} \right) e_{\sigma q}^- q_z \right],$$

где

$$\begin{aligned} q^+ &= q_x + iq_y, & q^- &= (q^+)^*, \\ e_{\sigma q}^+ &= e_{\sigma q}^x + ie_{\sigma q}^y, & e_{\sigma q}^- &= (e_{\sigma q}^+)^*, \\ T_n^0(q, \lambda) &= e^{i\mathbf{q}\cdot\mathbf{n}} / \sqrt{2m\omega_\sigma(q)}. \end{aligned}$$

В амплитудах трансформаций учтена перенормировка констант МУ-связи, которая определяется слагаемыми, пропорциональными $u_{zz}^{(0)}$. Кроме того, необходимо обратить внимание на наличие в амплитудах трансформаций константы одноионной анизотропии. Из этого факта следует, что гибридизация упругих и магнитных возбуждений может быть обусловлена не только МУ-связью, но и одноионной анизотропией. На этот механизм МУ-взаимодействия, связанный с учетом вращательной инвариантности, указывалось в работах [20, 22].

При распространении в кристалле длинноволнового звука магнитные переменные успевают подстроиться под мгновенное значение компонент тензора дисторсии квазистатическим образом. Обсудим процедуру перенормировки упругих модулей. Для этого в гамильтониане (1) выделим слагаемые, пропорциональные $u^{(1)}u^{(1)}, u^{(1)}\omega^{(1)}$ и $\omega^{(1)}\omega^{(1)}$. Полученное выражение усредняется по магнитным переменным. Поскольку магнитные переменные существенным образом зависят от реализации того или иного спинового состояния, модули упругости также будут зависеть от того, в какой магнитной фазе находится система. Подчеркнем, что перенормировка упругих модулей в основном определяется учетом вращательной инвариантности и упругой энергией системы (см. выражения (1) и (4)). Необходимо отметить, что подобный учет перенормировки упругих модулей (т. е. скоростей звука акустических возбуждений) является проявлением статических свойств системы, поскольку эта перенормировка определяется

средними значениями магнитной и МУ-энергий. Динамическая перенормировка скорости распространения квазиакустических возбуждений будет нами проведена при исследовании динамических свойств системы.

Приведем явный вид скорости звука для различных направлений волнового вектора и поляризации ($\mathbf{e}_x, \mathbf{e}_y, \mathbf{e}_z$ — единичные векторы вдоль соответствующих осей).

ФМ-фаза:

$$\mathbf{q} \parallel \mathbf{e}_y(e_l^y, e_\tau^x, e_t^z):$$

$$\begin{aligned} v_\tau^2 &= \frac{1}{2m}(\eta + \nu), \\ v_l^2 &= \frac{1}{m} \left(\lambda + \eta + \frac{\nu}{2} \right), \\ v_t^2 &= \frac{1}{2m} \left(\frac{\beta}{4} + \eta - 2\nu \right), \end{aligned}$$

$$\mathbf{q} \parallel \mathbf{e}_z(e_l^z, e_\tau^y, e_t^x):$$

$$\begin{aligned} v_\tau^2 &= v_t^2 = \frac{1}{2m} \left(\frac{\beta}{4} + \eta + \nu + \frac{\nu^2}{\eta} \right), \\ v_l^2 &= \frac{1}{m} \left(\lambda + \eta - 2\nu + \frac{3}{2} \frac{\nu^2}{\eta} \right). \end{aligned}$$

КУ-фаза:

$$\mathbf{q} \parallel \mathbf{e}_y(e_l^y, e_\tau^x, e_t^z):$$

$$\begin{aligned} v_\tau^2 &= \frac{1}{2m}(\eta + 2\nu), \\ v_l^2 &= \frac{1}{m} (\lambda + \eta + \nu), \\ v_t^2 &= \frac{1}{2m} \left(\eta + \frac{\beta}{2} \right), \end{aligned}$$

$$\mathbf{q} \parallel \mathbf{e}_z(e_l^z, e_\tau^y, e_t^x):$$

$$\begin{aligned} v_\tau^2 &= v_t^2 = \frac{1}{2m} \left(\frac{\beta}{2} + \eta + 2\nu \right), \\ v_l^2 &= \frac{1}{m} (\lambda + \eta). \end{aligned}$$

В случае $\mathbf{q} \parallel \mathbf{e}_x$ в полученных выражениях фактически меняются местами выражения для x - и y -поляризованного звука по сравнению со случаем $\mathbf{q} \parallel \mathbf{e}_y$.

При сравнении полученных значений скорости звука с результатами работы [9] приходим к выводу, что в случае жесткой фиксации базисной плоскости образца квадрат скорости звука, поляризованного в легкой плоскости, возрастает на величину порядка ν/t по сравнению со скоростью звука в свободном образце. Кроме того, скорость звука в КУ-фазе превышает скорость звука в ФМ-фазе.

2.2. Спектры МУ-волни в случае фиксации базисной плоскости

Представляет интерес исследовать динамические свойства рассматриваемой системы, т. е. определить спектры связанных МУ-волн, поскольку анализ спектров элементарных возбуждений позволяет определить области устойчивости соответствующих фазовых состояний. Определим функцию Грина следующим образом:

$$G^{\alpha\alpha'}(n, \tau; m, \tau') = -\langle \hat{T} \tilde{X}_n^\alpha(\tau) X_m^{\alpha'}(\tau') \rangle, \quad (13)$$

где \hat{T} — оператор Вика, $\tilde{X}_n^\alpha(\tau) = \exp(-\mathcal{H}\tau) X_n^\alpha \times \exp(\mathcal{H}\tau)$ — оператор Хаббарда в представлении Гейзенберга, усреднение ведется с полным гамильтонианом $\mathcal{H} = \mathcal{H}_{int} + \mathcal{H}_0 + \mathcal{H}_{tr}$, α — корневые векторы, определяемые алгеброй операторов Хаббарда [16, 17]. Полюсы функции Грина (13) определяют дисперсионное уравнение связанных МУ-волн.

Мы не будем останавливаться на методе получения дисперсионного уравнения связанных МУ-волн, поскольку он достаточно подробно описан в работах [16, 19]. Отметим, что дисперсионное уравнение является уравнением типа Ларкина (с учетом МУ-взаимодействия) и справедливо при произвольных соотношениях материальных констант и при произвольных температурах (исключая флуктуационную область). Исследуем решения этого уравнения в различных спиновых состояниях.

2.3. Спектры элементарных возбуждений в ФМ-фазе

Спектр низкочастотных квазимагнонов в длинноволновом пределе в ФМ-фазе имеет вид

$$\varepsilon(k) = \alpha k^2 + H + \frac{\nu^2}{\eta} - \frac{\beta}{2}, \quad (14)$$

где $\alpha = J_0 R_0^2$, R_0 — радиус взаимодействия.

При получении спектров квазифононов рассмотрены два направления волнового вектора: по оси y и по оси z . При этом для продольно-поляризованных квазифононов не происходит гибридизации с магнитной подсистемой, и их спектр остается линейным по волновому вектору. Спектры поперечно-поляризованных квазифононов имеют следующий вид:

$$\omega^2(k) = \omega_\sigma^2(k) \frac{\alpha k^2 + H + \frac{\nu^2}{\eta} - \frac{\beta}{2} - a_{0\sigma}^{(i)}}{\alpha k^2 + H + \frac{\nu^2}{\eta} - \frac{\beta}{2}}, \quad (15)$$

где $\omega_\sigma(k) = v_\sigma k$ — спектр невзаимодействующих σ -поляризованных фононов ($\sigma = t, \tau$). При $\mathbf{k} \parallel \mathbf{e}_y$

с магнитной подсистемой взаимодействует t -поляризованный квазифонон (поляризация по оси z), а МУ-параметр $a_{0t}^{(y)}$ имеет вид

$$a_{0t}^{(y)} = \frac{\left[\frac{\beta}{2} \left(1 + \frac{\nu}{2\eta} \right) - \nu \right]^2}{\frac{\beta}{2} + 2\eta - 4\nu}.$$

При распространении МУ-волны волны вдоль оси аксиальной симметрии ($\mathbf{k} \parallel \mathbf{e}_z$) с магнитной подсистемой могут активно взаимодействовать как τ -поляризованная (поляризация по оси y), так и t -поляризованная (поляризация по оси x) квазиакустические волны, причем параметр $a_{0\sigma}^{(z)}$ для обеих поляризаций один и тот же вследствие симметрии системы в плоскости xy :

$$a_{0\tau}^{(z)} = a_{0t}^{(z)} = \frac{\left[\frac{\beta}{2} \left(1 + \frac{\nu}{2\eta} \right) + \nu - \frac{\nu^2}{\eta} \right]^2}{\frac{\beta}{2} + 2\eta + 2\nu + \frac{2\nu^2}{\eta}}.$$

Как следует из формулы (15), ФМ-фаза является устойчивой при $H > H_{FM}$, где

$$H_{FM} = \frac{\beta}{2} - \frac{\nu^2}{\eta} + a_{0\sigma}^{(i)}. \quad (16)$$

При $H = H_{FM}$ в спектре квазимагнонов (14) возникает щель, равная $a_{0\sigma}^{(i)}$, а спектр квазифононов в длинноволновом пределе ($a_{0\sigma}^{(i)} \gg \alpha k^2$) размягчается,

$$\omega^2(k) = \omega_\sigma^2(k) \frac{\alpha k^2}{a_{0\sigma}^{(i)}},$$

и по этой ветви идет фазовый переход. Спектры квазифононов и квазимагнонов (в длинноволновом пределе) в ФМ-фазе изображены на рис. 2.

Необходимо отметить, что энергетическая щель $a_{0\sigma}^{(i)} \approx \beta/2$, возникающая в спектре квазимагнонов в окрестности фазового перехода в основном определяется константой одноионной анизотропии, а статическая МУ-перенормировка щели, связанная со спонтанными деформациями, мала. Это обусловлено учетом вращательной инвариантности, и, как отмечалось ранее, при этом учете МУ-связь может быть обусловлена наличием одноионной анизотропии (см. третье слагаемое в гамильтониане (1)) даже при равенстве нулю константы МУ-взаимодействия. Кроме того, поскольку $a_{0\sigma}^{(i)} \approx \beta/2$, поле перехода (16) порядка β , что примерно вдвое превосходит поле перехода для стандартной ситуации без учета вращательной инвариантности [19, 23].

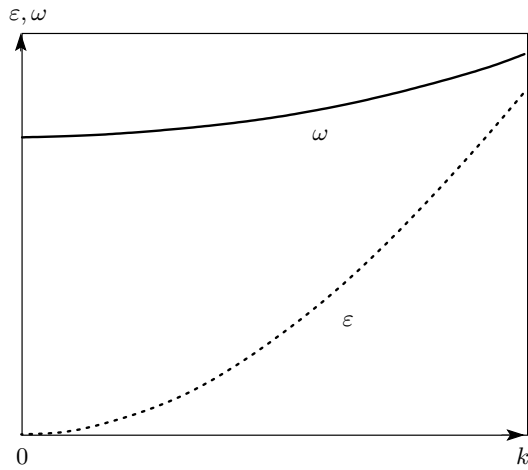


Рис. 2. Спектры квазифононов и квазимагнонов в ФМ-фазе в длинноволновом пределе при $H = H_{FM}$ ($\mathbf{k} \parallel y$)

Рассмотрим теперь перенормировку скоростей квазифононов при различных ориентациях волнового вектора и различных поляризациях квазиакустических возбуждений при $H - H_{FM} \gg \alpha k^2$. Из формулы (15) следует, что

$$\omega_y^2(k) = \tilde{v}_{ty}^2 k^2, \quad \omega_z^2(k) = \tilde{v}_{\tau z}^2 k^2,$$

где индекс « y » частоты указывает направление волнового вектора, а индексы « t » и « τ » у скорости соответствуют поперечным поляризациям. Выражения для скоростей имеют вид

$$\tilde{v}_{ty}^2 = v_{ty}^2 \frac{H - H_{FM}^{(y)}}{H - H_{FM}^{(y)} + a_{0t}^{(y)}}, \quad \tilde{v}_{\tau z}^2 = v_{\tau z}^2 \frac{H - H_{FM}^{(z)}}{H - H_{FM}^{(z)} + a_{0\tau}^{(z)}}.$$

Для разности квадратов скоростей с принятой нами точностью получаем

$$\tilde{v}_{ty}^2 - \tilde{v}_{\tau z}^2 = -\frac{3\nu}{2m} \frac{H - 5\beta/6}{H - \beta/2}. \quad (17)$$

Формула (17) отражает нарушение так называемого принципа взаимности для скорости звука. Это связано с нарушением вращательной инвариантности плотности энергии при наличии внешнего поля, а также с учетом накладываемых на образец механических граничных условий, т. е. жесткого крепления по базисной плоскости. В отличие от случая свободного образца [9], эта разность имеет другой знак, т. е. звук вдоль оси z распространяется с большей скоростью, чем вдоль оси y . Это также связано с фиксацией образца по плоскости xy .

2.4. Спектры элементарных возбуждений в КУ-фазе

Аналогичным образом исследуем спектры элементарных возбуждений в КУ-фазе. В рассмотренной нами системе характерным является тот факт, что спектр квазимагнонов в КУ-фазе имеет следующий вид:

$$\varepsilon(k) = \sqrt{\beta \left(\frac{\beta}{4} - J_0 + \alpha k^2 \right)} - H, \quad (18)$$

т. е. МУ-взаимодействие не приводит к статической перенормировке энергетической щели в спектре квазимагнонов в КУ-фазе. Этот факт является следствием равенства нулю спонтанных деформаций (10), т. е. фактически следствием симметрии накладываемых на систему механических граничных условий. Кроме того, спонтанные деформации пропорциональны $\langle S \rangle^2$ [11], а, как мы видели, длина вектора намагниченности (на узел) в этой фазе равна нулю.

Так же как и в ФМ-фазе, продольно-поляризованные квазифононы не взаимодействуют с магнитной подсистемой. Спектр поперечно-поляризованных квазифононов имеет вид

$$\omega^2(k) = \omega_\sigma^2(k) \times \frac{\left(1 - \frac{4a_{0\sigma}^{(i)}}{\beta} \right) \left[\beta \left(\frac{\beta}{4} - J_0 + \alpha k^2 \right) \right] - H^2}{\beta \left(\frac{\beta}{4} - J_0 + \alpha k^2 \right) - H^2}. \quad (19)$$

В случае $\mathbf{k} \parallel \mathbf{e}_y$ квазифононы поляризованы по оси z , а для $a_{0t}^{(y)}$ получаем

$$a_{0t}^{(y)} = \frac{(\beta/2 - \nu)^2}{\beta + 2\eta}.$$

В случае $\mathbf{k} \parallel \mathbf{e}_z$, как и в ФМ-фазе, с магнитной подсистемой могут активно взаимодействовать обе поперечно-поляризованные квазиакустические моды. Для параметра МУ-связи $a_{0\sigma}^{(z)}$, как и ранее, получаем одинаковые значения:

$$a_{0\sigma}^{(z)} = a_{0t}^{(z)} = \frac{(\beta/2 + \nu)^2}{\beta + 2\eta + 4\nu}.$$

Из спектра квазифононов (19) определяем величину поля, при котором спектры теряют устойчивость:

$$H_{QU} = \sqrt{\left(\beta - 4a_{0\sigma}^{(i)} \right) \left(\beta/4 - J_0 \right)}. \quad (20)$$

Как следует из (19), при $H = H_{QU}$ спектр квазифонов (в длинноволновом пределе) размягчается:

$$\omega^2(k) = \omega_\sigma^2(k) \frac{(\beta - 4a_{0\sigma}^{(i)}) \alpha k^2}{a_{0\sigma}^{(i)} (\beta - 4J_0)} \approx \omega_\sigma^2(k) \frac{\alpha k^2}{b_0},$$

где $b_0 = \beta^2/8\eta$. Необходимо отметить, что аналогичное размягчение поперечно-поляризованной квазиакустической волны в окрестности ориентационного фазового перехода наблюдается и для «стандартной модели» МУ-взаимодействия (без построения вращательно инвариантной теории, см., например, работы [2, 19]). Однако если в «стандартной модели» параметр МУ-связи $b_0 \sim \nu^2/\eta$, то в рассматриваемом случае этот параметр порядка β^2/η . Следовательно, приходим к выводу, что в результате учета вращательной инвариантности системы анизотропия начинает играть роль «эффективной» константы МУ-связи. Действительно, как уже отмечалось ранее, «эффективная» МУ-связь в данном случае возможна даже при равенстве нулю константы МУ-взаимодействия ($\nu = 0$), что в принципе невозможно в рамках «стандартной модели» связанных МУ-волн. Таким образом, фазовый переход в КУ-фазе идет по поперечно-поляризованной квазифононной ветви, спектр квазимагнонов является активационным при $H = H_{QU}$, а энергетическая щель равна

$$\begin{aligned} \varepsilon(0) &= \sqrt{\beta \left(\frac{\beta}{4} - J_0 \right)} \left(1 - \sqrt{1 - \frac{4a_{0\sigma}^{(i)}}{\beta}} \right) \approx \\ &\approx \sqrt{\beta \left(\frac{\beta}{4} - J_0 \right)} \left(1 - \sqrt{\frac{2\eta}{\beta}} \right). \end{aligned}$$

Отметим, что полученное для щели в спектре квазимагнонов выражение в первом приближении не зависит от константы МУ-связи. Это связано с обращением в нуль статических деформаций в КУ-фазе при рассматриваемом креплении образца.

Как следует из выражений (16) и (20), интервал полей $H_{QU} < H < H_{FM}$ определяет область существования фазы с ненулевыми параметрами порядка как векторного, так и тензорного типа. Эту область назовем квадрупольно-ферромагнитной (КФМ) фазой. Она является аналогом угловой фазы для легкоплоскостного ферромагнетика [23]. Область существования КФМ-фазы в рассматриваемом случае становится шире на величину порядка $\beta\nu^2/\eta$, по сравнению с аналогичной величиной из работы [9] за счет уменьшения величины поля перехода из

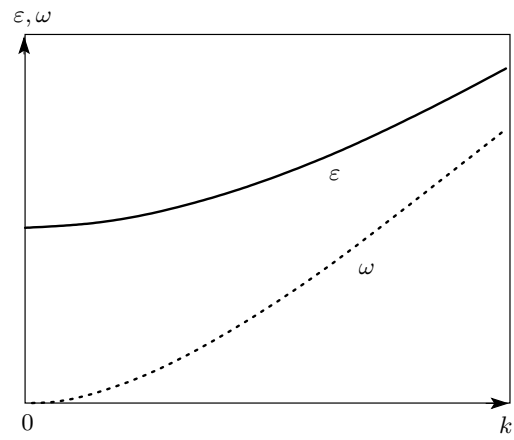


Рис. 3. Спектры квазифононов и квазимагнонов в КУ-фазе при $H = H_{QU}$ ($k \parallel y$)

КУ-фазы в КФМ-фазу. Качественно спектры элементарных возбуждений в КУ-фазе представлены на рис. 3.

Определим перенормировку скоростей квазифононов. Рассмотрим спектр квазифононов (19) вдали от линии фазового перехода, т. е. при $H - H_{QU} \gg \alpha k^2$:

$$\omega_y^2(k) = \tilde{v}_{ty}^2 k^2, \quad \omega_z^2(k) = \tilde{v}_{tz}^2 k^2.$$

Выражения для квадратов скоростей имеют вид

$$\begin{aligned} \tilde{v}_{ty}^2 &= v_{ty}^2 \frac{\left(H_{QU}^{(y)} \right)^2 - H^2}{\left(H_{QU}^{(y)} \right)^2 - H^2 + 4a_{0t}^{(y)} (\beta/4 - J_0)}, \\ \tilde{v}_{tz}^2 &= v_{tz}^2 \frac{\left(H_{QU}^{(z)} \right)^2 - H^2}{\left(H_{QU}^{(z)} \right)^2 - H^2 + 4a_{0\tau}^{(z)} (\beta/4 - J_0)}. \end{aligned}$$

Из этих формул следует, что разность квадратов скоростей с принятой нами точностью равна

$$\tilde{v}_{ty}^2 - \tilde{v}_{tz}^2 = \frac{\nu}{m} \frac{\beta(\beta/4 - J_0) + H^2}{\beta(\beta/4 - J_0) - H^2} \quad (21)$$

и зависит от квадрата внешнего магнитного поля. Это связано с тензорным характером параметра порядка КУ-фазы. Квадратичная зависимость разности скоростей поперечного звука от внешнего поля характерна для антиферромагнитных кристаллов, так же как и корневая зависимость магнитного спектра от волнового вектора. Отметим, что знак в выражении (21) совпадает со знаком соответствующего выражения для свободного образца [9]. Это связано

с тем, что в случае КУ-фазы магнитный момент в образце обращается в нуль, поэтому рассматриваемая нами разность (21) оказывается мало чувствительной к выбору граничных условий.

3. КРЕПЛЕНИЕ ПО ПЛОСКОСТИ xz

3.1. Модель. Энергетические уровни и собственные функции

Теперь рассмотрим образец, жестко закрепленный в плоскости xz . В общем виде выражение для гамильтониана такой системы в рамках вращательно-инвариантной теории МУ-взаимодействия остается таким же, как и в рассмотренном выше случае закрепленного по базисной плоскости образца, т. е. имеет вид (1).

При креплении образца по плоскости xz (рис. 4) для статической части элементов тензора дисторсии и тензора конечных деформаций имеем следующие соотношения:

$$\begin{aligned}\varepsilon_{yz}^{(0)} &= u_{yz}^{(0)} = -\omega_{yz}^{(0)}, \\ \varepsilon_{yy}^{(0)} &= u_{yy}^{(0)} + \frac{1}{2} \left(u_{yy}^{(0)} \right)^2 + 2 \left(u_{yz}^{(0)} \right)^2.\end{aligned}\quad (22)$$

Как и ранее, для решения однозначной задачи воспользуемся методом последовательных приближений. При этом, поскольку наше нулевое приближение не зависит от выбора граничных условий, выражения для собственных значений энергии и собственных функций имеют вид (3). Из анализа соотношения (3) видим, что в системе возможна реализа-

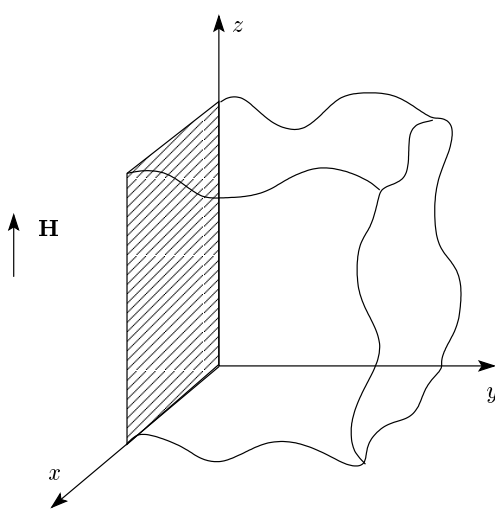


Рис. 4. Легкоплоскостный ферромагнетик, жестко закрепленный по плоскости xz

ция ФМ-фазы с самым низким энергетическим уровнем E_1 и параметрами порядка (7) в случае $H \gg \beta$. В случае $\beta \gg H$ происходит инверсия энергетических уровней и в системе реализуется КУ-фаза с самым низким уровнем E_0 и параметрами порядка (9).

Минимизируя плотность свободной энергии по компонентам тензора дисторсии сначала в одном, а затем в другом фазовом состоянии, для спонтанных деформаций в этих фазах получаем

$$\text{ФМ-фаза: } u_{yy}^{(0)} = -\frac{\nu}{2\eta}, \quad u_{yz}^{(0)} = 0,$$

$$\text{КУ-фаза: } u_{yy}^{(0)} = -\frac{\nu}{\eta}, \quad u_{yz}^{(0)} = 0.$$

Важно подчеркнуть, что в данном случае спонтанные деформации не обращаются в нуль в КУ-фазе, как это наблюдалось для образца, закрепленного по базисной плоскости.

Как видим, $u_{yz}^{(0)} = 0$ в обеих рассматриваемых фазах. При этом собственные функции гамильтониана \mathcal{H}_0 с принятой нами точностью совпадают с собственными функциями оператора \mathcal{L}_0 и определяются выражениями (3). Связь спиновых операторов с операторами Хаббарда не меняется. Выражения для энергетических уровней с учетом поправок, обусловленных статическими деформациями, имеют вид

$$\begin{aligned}E_1 &= \frac{\beta}{2} - \overline{H} - \frac{\nu}{4} \left(u_{yy}^{(0)} \right)^2 - \frac{\nu}{2} u_{yy}^{(0)}, \quad E_0 = 0, \\ E_{-1} &= \frac{\beta}{2} + \overline{H} - \frac{\nu}{4} \left(u_{yy}^{(0)} \right)^2 - \frac{\nu}{2} u_{yy}^{(0)},\end{aligned}\quad (23)$$

где значения $u_{yy}^{(0)}$ определяются фазовым состоянием системы.

Гамильтониан, описывающий процесс трансформации магнонов в фононы и обратно, имеет вид (12), но явный вид амплитуд трансформаций существенно иной (приведем значения амплитуд трансформаций, существенные в дальнейших расчетах):

$$\begin{aligned}T_n^{01}(q, \sigma) &= \frac{i}{2\sqrt{2}} \left\{ \frac{\beta}{2} \left[e_{\sigma q}^x q_z - e_{\sigma q}^z q_x + \right. \right. \\ &\quad \left. \left. + i \left(1 - \frac{u_{yy}^{(0)}}{2} \right) (e_{\sigma q}^y q_z - e_{\sigma q}^z q_y) \right] + \right. \\ &\quad \left. + \nu \left[e_{\sigma q}^x q_z + e_{\sigma q}^z q_x + i \left(1 + \frac{u_{yy}^{(0)}}{2} \right) (e_{\sigma q}^y q_z + e_{\sigma q}^z q_y) - \right. \right. \\ &\quad \left. \left. - i \left(1 + u_{yy}^{(0)} \right) \frac{u_{yy}^{(0)}}{2} (e_{\sigma q}^y q_z - e_{\sigma q}^z q_y) \right] \right\} T_n^0(q, \sigma),\end{aligned}$$

$$T_n^{0-1}(q, \sigma) = \frac{i}{2\sqrt{2}} \left\{ \frac{\beta}{2} \left[-e_{\sigma q}^x q_z + e_{\sigma q}^z q_x + i \left(1 - \frac{u_{yy}^{(0)}}{2} \right) (e_{\sigma q}^y q_z - e_{\sigma q}^z q_y) \right] + \nu \left[-e_{\sigma q}^x q_z - e_{\sigma q}^z q_x + i \left(1 + \frac{u_{yy}^{(0)}}{2} \right) (e_{\sigma q}^y q_z + e_{\sigma q}^z q_y) - i \left(1 + u_{yy}^{(0)} \right) \frac{u_{yy}^{(0)}}{2} (e_{\sigma q}^y q_z - e_{\sigma q}^z q_y) \right] \right\} T_n^0(q, \sigma).$$

Как и ранее, гибридизация упругих и магнитных возбуждений может быть обусловлена не только МУ-связью, но и одноионной анизотропией. При этом, как отмечалось ранее, симметрия полученных выражений для амплитуд трансформаций существенно отличается от ранее рассмотренного случая.

Приведем явный вид скорости звука с учетом статической перенормировки для различных направлений волнового вектора и поляризации.

ФМ-фаза:

$\mathbf{q} \parallel \mathbf{e}_y(e_l^y, e_\tau^x, e_t^z)$:

$$\begin{aligned} v_\tau^2 &= \frac{1}{2m} \left(\eta + \frac{3\nu^2}{4\eta} \right), \\ v_t^2 &= \frac{1}{m} \left[2(\lambda + \eta) - 2\nu + \frac{9\nu^2}{4\eta} \right], \\ v_l^2 &= \frac{1}{2m} \left(\frac{\beta}{4} + \eta + \frac{3\nu^2}{4\eta} \right), \end{aligned}$$

$\mathbf{q} \parallel \mathbf{e}_z(e_l^z, e_\tau^y, e_t^x)$:

$$\begin{aligned} v_t^2 &= \frac{1}{2m} \left(\frac{\beta}{4} + \eta + 3\nu - \frac{\lambda\nu}{\eta} \right), \\ v_\tau^2 &= \frac{1}{2m} \left(\frac{\beta}{4} + \eta + \nu - \frac{\nu^2}{4\eta} \right), \\ v_l^2 &= \frac{1}{m} \left[2(\lambda + \eta) + 2\nu - \frac{\lambda\nu}{4\eta} \right], \end{aligned}$$

$\mathbf{q} \parallel \mathbf{e}_x(e_l^x, e_t^y, e_\tau^z)$:

$$\begin{aligned} v_l^2 &= \frac{1}{2m} \left[2(\lambda + \eta) + \nu - \frac{\lambda\nu}{\eta} \right], \\ v_t^2 &= \frac{1}{2m} \left(\eta + \frac{3}{4} \frac{\nu^2}{\eta} \right), \\ v_\tau^2 &= \frac{1}{2m} \left(\frac{\beta}{4} + \eta - \frac{\lambda\nu}{\eta} \right). \end{aligned}$$

КУ-фаза:

$$\begin{aligned} \mathbf{q} \parallel \mathbf{e}_y(e_l^y, e_\tau^x, e_t^z): \\ v_\tau^2 &= \frac{1}{2m} \left(\eta - \nu + \nu \frac{\lambda + 5.5\nu}{\eta} \right), \\ v_l^2 &= \frac{1}{2m} \left(2\lambda + 2\eta - 4\nu + 9 \frac{\nu^2}{\eta} \right), \\ v_t^2 &= \frac{1}{2m} \left(\eta + \frac{\beta}{2} - \frac{5}{2}\nu + \nu \frac{\lambda + 5.5\nu}{\eta} \right), \\ \mathbf{q} \parallel \mathbf{e}_z(e_l^z, e_\tau^y, e_t^x): \\ v_t^2 &= \frac{1}{2m} \left(\eta + 2\nu - \frac{2\lambda\nu}{\eta} \right), \\ v_\tau^2 &= \frac{1}{2m} \left(\frac{\beta}{2} + \eta - \frac{\nu}{2} + \nu \frac{\lambda + 1.5\nu}{\eta} \right), \\ v_l^2 &= \frac{1}{2m} \left(2\lambda + 2\eta - \frac{2\lambda\nu}{\eta} \right), \\ \mathbf{q} \parallel \mathbf{e}_x(e_l^x, e_t^y, e_\tau^z): \\ v_l^2 &= \frac{1}{2m} \left(2\lambda + 2\eta + 2\nu - \frac{2\lambda\nu}{\eta} \right), \\ v_t^2 &= \frac{1}{2m} \left(\eta - \nu + \nu \frac{\lambda + 5.5\nu}{\eta} \right), \\ v_\tau^2 &= \frac{1}{2m} \left(\eta - \frac{2\lambda\nu}{\eta} \right). \end{aligned}$$

При сравнении полученных значений скорости звука со значениями скорости звука для случая крепления по базисной плоскости приходим к выводу, что в случае жесткой фиксации плоскости xz образца значения скорости звука существенно меняются. Переходит выполняться равенство $v_t^2 = v_\tau^2$ в случае $\mathbf{q} \parallel \mathbf{e}_z$, которое имело место для образца, закрепленного по базисной плоскости. Теряется также равенство между соответствующими значениями скоростей звука в случаях $\mathbf{q} \parallel \mathbf{e}_y$ и $\mathbf{q} \parallel \mathbf{e}_x$. Все это связано с изменением симметрии накладываемых на образец механических граничных условий.

3.2. Спектры элементарных возбуждений в ФМ-фазе

Как и ранее, спектры связанных МУ-волн будем определять из решения дисперсионного уравнения, определяемого полюсами функции Грина (13).

Спектр низкочастотных квазимагнонов в длинноволновом пределе в ФМ-фазе имеет вид

$$\varepsilon(k) = \alpha k^2 + H - \frac{\beta}{2} - \frac{\nu^2}{4\eta}. \quad (24)$$

Как видим, поправка, обусловленная МУ-связью, в данном случае становится отрицательной и в четы-

ре раза меньшей по абсолютному значению по сравнению с (14). При получении спектров квазифонов рассмотрены направления волнового вектора по осям y , x и z . Для продольной поляризации квазифонов не происходит гибридизации и спектры остаются линейными по волновому вектору. Спектры поперечно-поляризованных квазифонов имеют вид

$$\omega^2(k) = \omega_\sigma^2(k) \frac{\alpha k^2 + H - \frac{\nu^2}{4\eta} - \frac{\beta}{2} - a_{0\sigma}^{(i)}}{\alpha k^2 + H - \frac{\nu^2}{4\eta} - \frac{\beta}{2}} \quad (25)$$

и отличаются от спектров в случае закрепленного по базисной плоскости образца значением МУ-поправки и значениями параметра $a_{0\sigma}^{(i)}$. При распространении МУ-волны либо вдоль оси y ($\mathbf{k} \parallel \mathbf{e}_y$), либо вдоль оси x ($\mathbf{k} \parallel \mathbf{e}_x$) с магнитной подсистемой активно взаимодействуют лишь поперечно-поляризованные вдоль оси z квазифононы. Если же возбуждение распространяется по оси z , то гибридизация имеет место как для случая поляризации по оси y , так и для случая поляризации по оси x . При этом спектры квазифонов для этих двух случаев различны, в отличие от случаев свободного образца и образца, закрепленного по базисной плоскости. Это связано с тем, что при данном закреплении образца нарушается аксиальная симметрия относительно направления внешнего магнитного поля (оси z). Таким образом, при $\mathbf{k} \parallel \mathbf{e}_y$ либо $\mathbf{k} \parallel \mathbf{e}_x$ параметры МУ-связи, входящие в спектр квазифонов (25), принимают вид

$$a_{0t}^{(y)} = \frac{\left[\frac{\beta}{2} \left(1 + \frac{\nu}{4\eta} \right) - \nu \right]^2}{\frac{\beta}{2} + 2\eta + \frac{3}{2} \frac{\nu^2}{\eta}}, \quad a_{0\tau}^{(x)} = \frac{\left(\frac{\beta}{2} - \nu \right)^2}{\frac{\beta}{2} + 2\eta - \frac{2\lambda\nu}{\eta}}.$$

При $\mathbf{k} \parallel \mathbf{e}_z$ с магнитной подсистемой взаимодействуют либо τ -поляризованные квазифононы (поляризация по оси y), либо t -поляризованные (по оси x). Параметры $a_{0\alpha}^{(i)}$ в этом случае имеют вид

$$a_{0\tau}^{(z)} = \frac{\left[\frac{\beta}{2} \left(1 + \frac{\nu}{4\eta} \right) + \nu \right]^2}{\frac{\beta}{2} + 2\eta + 2\nu + \frac{\nu^2}{2\eta}}, \quad a_{0t}^{(z)} = \frac{\left(\frac{\beta}{2} + \nu \right)^2}{\frac{\beta}{2} + 2\eta + 6\nu - \frac{2\lambda\nu}{\eta}}.$$

Таким образом, как следует из выражения (25), спектр поперечно-поляризованных квазифонов (в длинноволновом пределе) при

$$H_{FM} = \frac{\beta}{2} + \frac{\nu^2}{4\eta} + a_{0\sigma}^{(i)} \quad (26)$$

размягчается, $\omega^2(k) = \omega_\sigma^2(k)\alpha k^2/a_{0\sigma}^{(i)}$, и по ветви возбуждений (25) идет фазовый переход, а ФМ-фаза становится неустойчивой при $H = H_{FM}$. При этом значении внешнего поля в спектре квазимагнонов возникает, как и ранее, щель, равная $a_{0\sigma}^{(i)} \approx \beta/2$.

Графическая зависимость спектров квазифонов и квазимагнонов в ФМ-фазе качественно соответствует рис. 2.

Как и в предыдущем случае, имеет место динамическая перенормировка для скорости звука. Эффект невзаимности описывается выражением

$$\tilde{v}_{ty}^2 - \tilde{v}_{tz}^2 = -\frac{\nu}{2m} \frac{H - 3\beta/2}{H - \beta/2}. \quad (27)$$

В данном случае выражение (27) также оказывается отрицательным, но меньшим по модулю по сравнению с выражением (17). Это связано с изменением симметрии граничных условий.

3.3. Спектры в КУ-фазе

В отличие от ранее рассмотренного случая (см. (18)), в КУ-фазе спектр квазимагнонов статически перенормируется МУ-взаимодействием и имеет вид

$$\varepsilon(k) = \sqrt{\left(\beta + \frac{\nu^2}{\eta} \right) \left(\frac{\beta}{4} + \frac{\nu^2}{4\eta} - J_0 + \alpha k^2 \right)} - H. \quad (28)$$

Отметим, что перенормировка спектра квазимагнонов (28) вдвое меньше, чем в случае свободного образца [9], и фактически сводится к перенормировке значения константы анизотропии, $\tilde{\beta} = \beta + \nu^2/\eta$. При введении такого обозначения спектр квазимагнонов приобретает тот же вид, что и (18).

Так же как и в ФМ-фазе, продольно-поляризованные квазифононы не взаимодействуют с магнитной подсистемой. Спектр поперечно-поляризованных квазифонов имеет вид

$$\begin{aligned} \omega^2(k) &= \omega_\sigma^2(k) \times \\ &\times \frac{\left(1 - \frac{4a_{0\sigma}^{(i)}}{\tilde{\beta}} \right) \tilde{\beta} \left(\frac{\tilde{\beta}}{4} - J_0 + \alpha k^2 \right) - H^2}{\tilde{\beta} \left(\frac{\tilde{\beta}}{4} - J_0 + \alpha k^2 \right) - H^2}. \end{aligned} \quad (29)$$

В случае $\mathbf{k} \parallel \mathbf{e}_y$ квазифононы поляризованы по оси z , а для $a_{0t}^{(y)}$ получаем

$$a_{0t}^{(y)} = \frac{\left[\frac{\beta}{2} \left(1 + \frac{\nu}{2\eta} \right) - \nu \right]^2}{\beta + 2\eta - 5\nu + \frac{2\nu}{\eta} \left(\lambda + \frac{11\nu}{2} \right)}.$$

В случае $\mathbf{k} \parallel \mathbf{e}_z$, в отличие от случая крепления образца по легкой плоскости, гибридизованными оказываются только квазифононы, поляризованные вдоль оси y . Это связано с нарушением аксиальной симметрии системы относительно оси z при закреплении образца по плоскости xz . Для слагаемого $a_{0\tau}^{(z)}$ получаем

$$a_{0\tau}^{(z)} = \frac{\left[\frac{\beta}{2} \left(1 + \frac{\nu}{2\eta} \right) + \nu \right]^2}{\beta + 2\eta - \nu + \frac{2\nu}{\eta} \left(\lambda + \frac{3\nu}{2} \right)}.$$

Квазиакустическая мода, поляризованная вдоль оси x , не взаимодействует с магнитной подсистемой, и спектр остается линейным по волновому вектору.

Из выражения (29) следует, что при

$$H_{QU} = \sqrt{\left(\tilde{\beta} - 4a_{0\sigma}^{(i)} \right) \left(\frac{\tilde{\beta}}{4} - J_0 \right)} \quad (30)$$

спектр поперечно-поляризованных квазифононов (29) размягчается и приобретает вид

$$\omega^2(k) = \omega_\sigma^2(k) \frac{\left(\tilde{\beta} - 4a_{0\sigma}^{(i)} \right) \alpha k^2}{a_{0\sigma}^{(i)} \left(\tilde{\beta} - 4J_0 \right)} \approx \omega_\sigma^2(k) \frac{\alpha k^2}{\tilde{b}_0},$$

где $\tilde{b}_0 = \tilde{\beta}^2/8\eta$, а в спектре квазимагнонов возникает МУ-щель, равная

$$\begin{aligned} \varepsilon(0) &= \sqrt{\tilde{\beta} \left(\frac{\tilde{\beta}}{4} - J_0 \right)} \left(1 - \sqrt{1 - \frac{4a_{0\sigma}^{(i)}}{\tilde{\beta}}} \right) \approx \\ &\approx \sqrt{\tilde{\beta} \left(\frac{\tilde{\beta}}{4} - J_0 \right)} \left(1 - \sqrt{\frac{2\eta}{\tilde{\beta}}} \right). \end{aligned}$$

При $H = H_{QU}$ система переходит из КУ-фазы в КФМ-фазу. Спектры элементарных возбуждений в КУ-фазе качественно соответствуют спектрам, представленным на рис. 3.

Несмотря на то что в данном случае спонтанные деформации отличны от нуля, они не оказывают существенного влияния на значение энергетической щели в спектре квазимагнонов. Ее общий вид остается таким же, как и в ранее рассмотренном случае образца, закрепленного по легкой плоскости; происходит лишь перенормировка константы анизотропии.

Рассматривая динамическую поправку к скорости квазифононов, получаем следующее выражение

для разности квадратов скоростей звука при различных направлениях волнового вектора и поляризациях:

$$\begin{aligned} \tilde{v}_{ty}^2 - \tilde{v}_{tz}^2 &= \\ &= \frac{\nu}{m} \frac{\beta \left(\frac{\beta}{4} + \frac{\nu^2}{4\eta} - J_0 \right) + H^2}{\left(\beta + \frac{\nu^2}{\eta} \right) \left(\frac{\beta}{4} + \frac{\nu^2}{4\eta} - J_0 \right) - H^2}. \end{aligned} \quad (31)$$

Выражение (31) качественно имеет тот же вид, что и выражение (21), с различием лишь в поправке $\nu^2/4\eta$. Это обусловлено, как было отмечено ранее, слабой зависимостью разности квадратов скоростей звука от выбора граничных условий в КУ-фазе.

4. ВЫВОДЫ

В работе исследованы динамические и статические свойства сильноанизотропного легкоплоскостного ферромагнетика, находящегося во внешнем магнитном поле, в случае жестко закрепленной базисной плоскости и в случае крепления образца перпендикулярно базисной плоскости. В результате проведенных исследований установлено, что в обоих случаях оказалась возможной реализация трех фазовых состояний: ферромагнитной (ФМ) фазы при $H > \beta > J$, квадрупольной (КУ) фазы при $\beta > J, H$ и квадрупольно-ферромагнитной (КФМ) фазы. Определены скорость звука, спектры связанных МУ-волни, линии фазовых переходов по магнитному полю. Построена фазовая диаграмма. Исследован эффект невзаимности, возникающий в рассматриваемой системе.

В случае жестко закрепленной базисной плоскости статическая часть деформаций не влияет на квазимагнитную ветвь спектра в КУ-фазе. Это является следствием обращения в нуль спонтанных деформаций в этой фазе. При ином выборе граничных условий ситуация кардинально меняется. Так, при приклейке по плоскости xz отличным от нуля оказывается элемент $u_{yy}^{(0)}$ как в ФМ-, так и в КУ-фазе, что приводит к кардинальному изменению динамических свойств системы, в частности, к зависимости квазимагнитной ветви спектра в КУ-фазе от статической части деформаций. Это говорит о существенной зависимости поведения данной системы от симметрии накладываемых граничных условий.

При сравнении полученных результатов с результатами для свободного образца [9] видно, что в случае фиксации базисной плоскости образца квадрат

скорости звука возрастает на величину порядка ν/t по сравнению с квадратом скорости звука в свободном образце для звука, поляризованного в легкой плоскости. Выражения для скорости звука в образце, закрепленном в плоскости xz , существенным образом отличаются от соответствующих выражений как для образца, закрепленного по базисной плоскости, так и для свободного образца [9]. При фиксации плоскости xz перестает выполняться равенство $v_x^2 = v_y^2$ в случае $\mathbf{q} \parallel \mathbf{e}_z$, а также равенство между соответствующими значениями скоростей звука в случаях $\mathbf{q} \parallel \mathbf{e}_y$ и $\mathbf{q} \parallel \mathbf{e}_x$. Это связано с изменением симметрии накладываемых на образец механических граничных условий.

Вклад, обусловленный МУ-связью, в спектр квазимагнонов в ФМ-фазе в случае крепления по плоскости xz становится отрицательным и в четыре раза меньшим по абсолютному значению по сравнению с вкладом в случае крепления по базисной плоскости. Характерной особенностью спектров в КУ-фазе является то, что при креплении по плоскости xz константа анизотропии оказывается усиленной слагаемым, обусловленным МУ-связью. Аналогичная ситуация наблюдается и в случае свободного образца [9]. Кроме того, в силу нарушения аксиальной симметрии при креплении по плоскости xz спектры поперечно-поляризованных квазифононов в ФМ-фазе для направления волнового вектора по оси z перестают быть равными друг другу, как это было в случае крепления по плоскости xy и в случае свободного образца. В КУ-фазе, вследствие этого нарушения симметрии, с магнитной подсистемой перестает взаимодействовать квазиакустическая мода, поляризованная вдоль оси x .

Особый интерес вызывает поведение спектров вблизи линии фазового перехода. Для спектров в ФМ-фазе в случаях крепления образца как по плоскости xy , так и по плоскости xz ситуация оказывается схожей. Гибридизованные квазиакустические моды размягчаются в точке фазового перехода, а в спектре квазимагнонов появляется достаточно большая МУ-щель, величина которой пропорциональна β . Для спектров в КУ-фазе гибридизованные квазиакустические моды также размягчаются в точке фазового перехода, при этом параметр МУ-связи $b_0 \sim \beta^2/\eta$, а щель в спектре квазимагнонов оказывается порядка $\sqrt{\beta(\beta/4 - J_0)}$. Принципиальным отличием рассмотренной в данной работе модели от «стандартной модели» [2, 19], не учитывающей вращательную инвариантность, состоит в том, что константа анизотропии выполняет роль как анизотропии, так и эффективной МУ-связи. Это прояв-

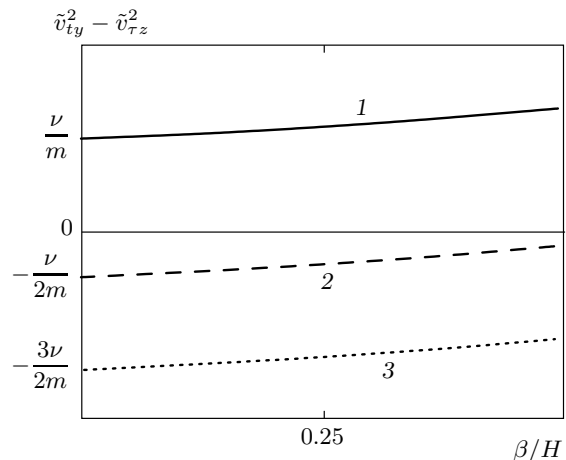


Рис. 5. Эффект невзаимности в ФМ-фазе: 1 — свободный образец; 2 — образец, закрепленный по плоскости xz ; 3 — образец, закрепленный по плоскости xy

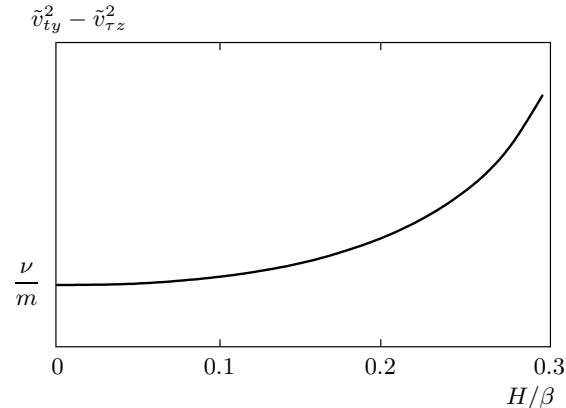


Рис. 6. Эффект невзаимности в КУ-фазе

ляется в виде параметра МУ-связи $a_{0\sigma}$, в увеличении примерно вдвое поля перехода из ФМ-фазы в КФМ-фазу (по сравнению со «стандартной моделью»), а также существенным увеличением щели в спектре квазимагнонов в окрестности фазового перехода. Таким образом, видим, что учет вращательной инвариантности системы приводит к тому, что анизотропия начинает играть роль «эффективной» константы МУ-связи.

При сравнении формул (17), (21), (27), (31) и результатов работы [9] приходим к следующим выводам: для свободного образца в ФМ-фазе скорость звука по оси y больше, чем по оси z . Это обусловлено наличием внешнего поля, направленного по оси z . При закреплении образца по плоскости xz ско-

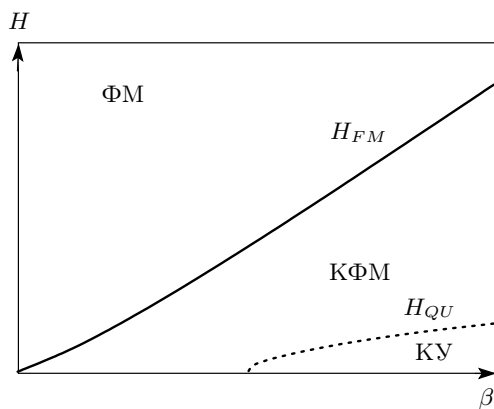


Рис. 7. Фазовая диаграмма легкоплоскостного сильноанизотропного ферромагнетика

рость звука по оси z оказывается большей, чем по оси y . В случае крепления по базисной плоскости эта разность между квадратами скоростей звука по оси z и по оси y становится еще больше (рис. 5). Для КУ-фазы такого различия в эффекте невзаимности не наблюдается ввиду обращения в нуль в КУ-фазе магнитного момента (рис. 6).

Фазовые диаграммы для обоих рассматриваемых случаев имеют вид, представленный на рис. 7. Отметим, что такая же фазовая диаграмма реализуется и для случая свободного образца. Однако важным различием является поведение фазовой диаграммы при изменении значения константы МУ-связи. При его увеличении область существования КУ-фазы в случае крепления по плоскости xz существенно уменьшается, в то время как для случая крепления по базисной плоскости и для свободного образца такого изменения не наблюдается. Это связано с тем, что при креплении образца по плоскости xz за счет МУ-взаимодействия формируется эффективная легкоосная анизотропия, связанная с наличием компоненты тензора спонтанных деформаций $u_{yy}^0 \neq 0$. Вместе с существующей в системе легкоплоскостной анизотропией эта «эффективная» анизотропия формирует ромбическую анизотропию, что приводит к компенсации эффекта квантового сокращения спина и, как следствие, к уменьшению области существования КУ-фазы.

ЛИТЕРАТУРА

1. А. И. Ахиезер, В. Г. Барьяхтар, С. В. Пелетминский, ЖЭТФ **35**, 228 (1958).

2. Е. А. Туров, В. Г. Шавров, УФН **140**, 429 (1983).
3. Е. А. Туров, В. Г. Шавров, ФТТ **7**, 217 (1965).
4. С. В. Малеев, ЖЭТФ **70**, 2374 (1976).
5. В. А. Ivanov and E. V. Tartakovskaya, Phys. Rev. Lett. **77**, 386 (1996).
6. Б. А. Иванов, Е. В. Тартаковская, Письма в ЖЭТФ **63**, 792 (1996).
7. Yu. A. Fridman, D. V. Spirin, C. N. Alexeyev, and D. A. Matiunin, Eur. Phys. J. B **26**, 185 (2002).
8. В. Г. Барьяхтар, И. М. Витебский, Н. М. Лавриненко, В. Л. Соболев, ЖЭТФ **90**, 1111 (1986).
9. И. М. Витебский, Н. М. Лавриненко, А. М. Майорова и др., УФЖ **39**, 597 (1994).
10. И. М. Витебский, Н. М. Лавриненко, А. Н. Майорова и др., Препринт ИМК-93-8 (1993).
11. А. И. Ахиезер, В. Г. Барьяхтар, С. В. Пелетминский, *Спиновые волны*, Наука, Москва (1967).
12. В. В. Вальков, С. Г. Овчинников, ТМФ **50**, 466 (1982).
13. R. Barnett, A. Turner, and E. Demler, Phys. Rev. Lett. **97**, 180412 (2006).
14. Yu. A. Fridman, O. A. Kosmachov, A. K. Kolezhuk, and B. A. Ivanov, Phys. Rev. Lett. **106**, 097202 (2011).
15. Ю. А. Фридман, О. А. Космачев, ФТТ **51**, 1104 (2009).
16. В. В. Вальков, Т. А. Валькова, С. Г. Овчинников, ЖЭТФ **88**, 550 (1985).
17. Р. О. Зайцев, ЖЭТФ **68**, 207 (1975).
18. Yu. A. Fridman, O. A. Kosmachov, and Ph. N. Klevets, J. Magn. Magn. Mater. **320**, 435 (2008).
19. Ю. Н. Мицай, Ю. А. Фридман, ТМФ **81**, 263 (1989).
20. В. Г. Барьяхтар, Е. А. Туров, в сб. *Электронная структура и электронные свойства металлов и сплавов*, Наук. думка, Киев (1988), с. 39.
21. Л. Д. Ландау, Е. М. Лифшиц, *Статистическая физика*, ч. I, Наука, Москва (1976).
22. А. А. Абрикосов, Л. П. Горьков, И. Е. Дзялошинский, *Методы квантовой теории поля в статистической физике*, Физматгиз, Москва (1962).
23. Ю. Н. Мицай, А. Н. Майорова, Ю. А. Фридман, ФТТ **34**, 66 (1992).